

ОБЪЕДИНЕННЫЙ  
ИНСТИТУТ  
ЯДЕРНЫХ  
ИССЛЕДОВАНИЙ

Дубна

95-300

P6-95-300

Я.Ваврыщук, К.Я.Громов, В.И.Фоминых, В.Г.Чумин,  
М.Б.Юлдашев

ТОНКАЯ СТРУКТУРА АЛЬФА-СПЕКТРОВ  $^{151}\text{Ho}$

Направлено в журнал «Известия РАН, серия физическая»

1995

Ваврычук Я. и др.

P6-95-300

Тонкая структура альфа-спектров  $^{151}\text{Ho}$

В исследованиях  $\alpha$ -спектров и  $(\alpha-\gamma)$ -совпадений при распаде изомерных состояний  $^{151}\text{Ho}$  подтверждена схема распада, предложенная Лиангом и др. [1].

Работа выполнена в Лаборатории ядерных проблем ОИЯИ.

Препринт Объединенного института ядерных исследований. Дубна, 1995

Перевод авторов

Wawryszczuk J. et al.

P6-95-300

Fine Structure of the  $^{151}\text{Ho}$  Isomeric Alpha-Spectrum

The decay scheme of the  $^{151}\text{Ho}$  isomeric states proposed Liang et al. [1] have been confirmed in the  $\alpha$ -spectra and  $(\alpha-\gamma)$ -coincidences investigations.

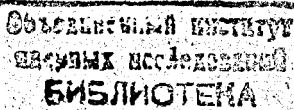
The investigation has been performed at the Laboratory of Nuclear Problems, JINR.

В области нуклидов с числом нейтронов около 82 и нечетным числом протонов около 64 наблюдается ряд изомерных состояний типа  $\text{No}^{11/2}$  и  $\text{No}^{1/2}$ . При числе протонов  $Z > 65$  разность энергий этих состояний составляет обычно несколько десятков килозэлектронвольт, и поэтому поиск и исследование  $\alpha$ -распада на возбуждённые состояния дочерних ядер является важным методом установления относительного энергетического положения этих изомерных уровней.

Лианг и др. [1] изучали спектр  $\alpha$ -частиц и  $(\alpha-\gamma)$ -совпадений при распаде изомеров  $^{151}\text{No}$ . При распаде изомерного состояния  $\text{No}^{1/2}$  ( $T_{1/2} = 47$  с,  $E_\alpha = 4610.6$  кэВ) они наблюдали линии тонкой структуры  $E_\alpha = 4260$  кэВ, а при распаде изомера  $\text{No}^{11/2}$  ( $T_{1/2} = 36$  с,  $E_\alpha = 4522.1$  кэВ) — линии тонкой структуры  $E_\alpha = 4220$  кэВ. Предложена схема распада изомеров  $^{151}\text{No}$  (рис. 1). Установлены разности энергий изомерных состояний в  $^{151}\text{No}$ :  $E_{1/2} - E_{11/2} = 41.4$  кэВ, и дочернем  $^{147}\text{Tb}$ :  $E_{11/2} - E_{1/2} = 50.6$  кэВ.

Учитывая важность получения надёжной информации о взаимном расположении изомерных состояний в  $^{151}\text{No}$  и  $^{147}\text{Tb}$ , мы повторили эксперименты Лианга и др. [1].

Эксперименты выполнены на ИЗОЛЬ-комплексе ЯСНАПП-2 [2] в Дубне. Нуклиды  $^{151}\text{No}$  получали при облучении вольфрамовой мишени протонами с энергией 660 МэВ на фазotronе ОИЯИ. Вольфрамовая мишень одновременно являлась ампулой ионизатора ионного источника электромагнитного масс-сепаратора. Ионы  $A=151$  собирались на "монету" монетного автомата спектрометрической установки [3]. Монеты-подложки через заданные промежутки времени перебрасывались в измерительную позицию, где с помощью  $\text{Si}(\text{Au})$ -детектора измерялись  $\alpha$ -спектры и с помощью  $\text{HPGe}$ -детектора измерялись  $\gamma$ -спектры. Параллельно с помощью тех же детекторов изучались спектры  $(\alpha-\gamma)$ -совпадений. Управление экспериментом с помощью персонального компьютера PC AT/386 позволяло изменять временной режим эксперимента. Основные результаты получены, когда облучение мишени протонами и одновременный сбор ионов с  $A=151$  на монету проводились в течение 80 с, а затем выполнялись измерения спектров 4 раза по 20 с. Число циклов измерений (число источников) было 100.



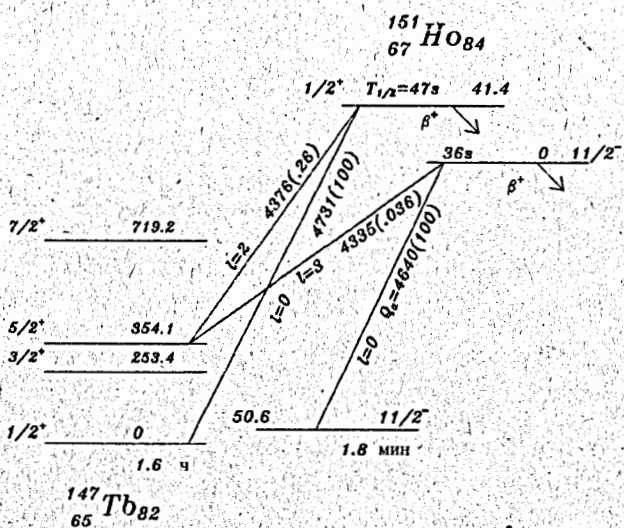


Рис.1. Схема  $\alpha$ -распада изомеров  $^{151}\text{Ho}$ , предложенная Лиангом и др.[1]. Энергии возбуждения изомерных состояний в  $^{147}\text{Tb}$  и  $^{151}\text{Ho}$ . В скобках – относительные интенсивности  $\alpha$ -переходов

На рис.2 представлен одиничный спектр  $\alpha$ -частиц  $A=151$ . Оценки периодов полураспада, с которыми убывало число отсчётов на разных участках спектра, позволяет заключить, что вместе с основными  $\alpha$ -линиями нуклидов с  $A=151$ :  $E_\alpha = 4610$  кэВ ( $^{151}\text{Ho}$ , 47 с),  $4522$  кэВ ( $^{151}\text{Ho}$ , 36 с) и  $4069$  кэВ ( $^{150}\text{Dy}$ , 17 мин), наблюдаются  $\alpha$ -линии с энергиями  $E_\alpha = 4235$  кэВ ( $^{150}\text{Dy}$ , 7.2 мин) и  $E_\alpha = 4389$  кэВ ( $^{152}\text{Ho}$ , 2.4 мин), обусловленные малыми (<1%) примесями в источнике соседних с  $A=151$  изотопов. Линия с энергией  $E_\alpha = (4260 \pm 5)$  кэВ мы, как и в [1], относим к распаду изомера  $\Gamma_{1/2} = 151$  Но с  $T_{1/2} = 47$  с.. Идентифицировать  $\alpha$ -линию 4220 кэВ, наблюдавшуюся в [1], мы не можем из-за примеси  $^{150}\text{Dy}$ .

На рис.3а,3б представлены спектры  $\gamma$ -лучей, совпадающих с  $\alpha$ -частицами с энергией  $E_\alpha = (4260 \pm 20)$  кэВ и  $E_\alpha = (4220 \pm 20)$  кэВ. При этом из  $\gamma$ -спектров, измеренных в указанных окнах, вычен спектр "фонового" окна –  $E_\alpha = (4380 \pm 20)$  кэВ.

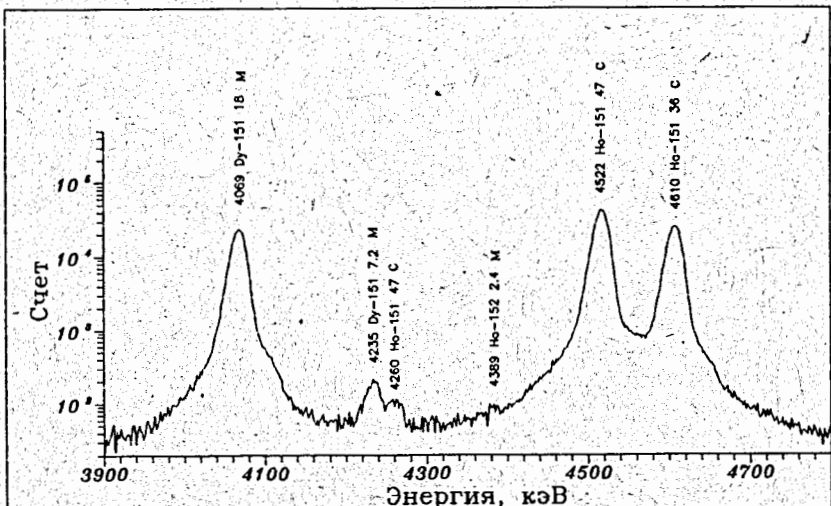


Рис.2. Одиночный спектр  $\alpha$ -частиц нуклидов с  $A=151$ .

Чтобы не потерять отрицательных чисел при вычитании, к отсчётам в каждом канале "уменьшаемого" спектра было добавлено по 10 отсчётов, т.е. ордината 10 на рис.3а,3б соответствует нулевым отсчётом. В спектре окна  $E_\alpha = 4260$  кэВ наблюдаются совпадения с  $\gamma$ -лучами 100.5 кэВ и 253.5 кэВ. Слабые совпадения с  $\gamma$ -лучами этих энергий наблюдаются и в окне  $E_\alpha = 4220$  кэВ. На рис.4 изображён спектр  $\alpha$ -частиц, совпадающих с  $\gamma$ -квантами с энергией 100 кэВ и 253 кэВ, полученный как сумма  $\alpha$ -спектров в окнах  $E_\gamma = (100 \pm 1)$  кэВ и  $E_\gamma = (253 \pm 1)$  кэВ минус спектры в "фоновых окнах"  $E_\gamma = 105$  кэВ и  $E_\gamma = 248$  кэВ. Так же как на рис.3а,3б, нулевым отсчётом следует считать ординату = 10. Видны совпадения с  $\alpha$ -частицами 4260 кэВ и слабые совпадение с  $E_\gamma = 4220$  кэВ.

В таблице приведены полученные при анализе экспериментальных результатов относительные интенсивности линий  $\alpha$ -спектра при распаде изомеров  $^{151}\text{Ho}$ . Отношение интенсивностей  $I_{\alpha_{4260}} : I_{\alpha_{4220}} = 0.23(1)\%$  определено по результатам измерения одиночного спектра изомеров  $^{151}\text{Ho}$ .

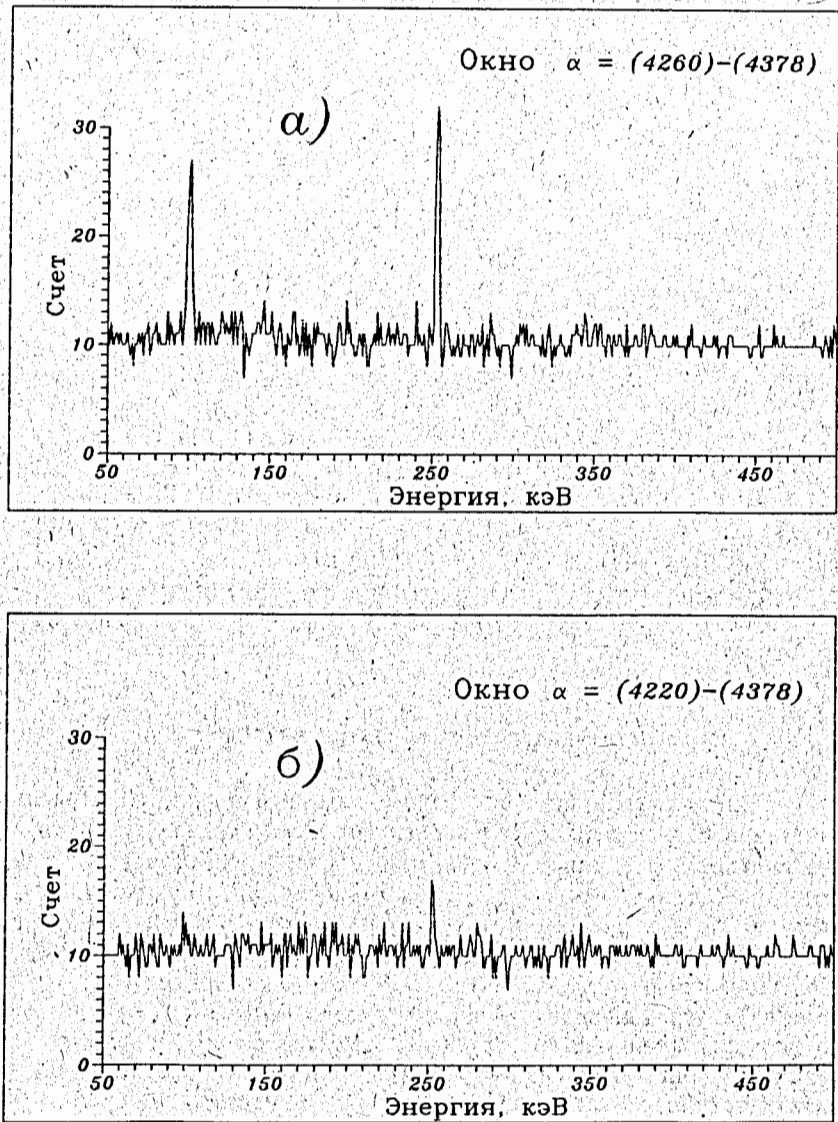


Рис.3. Спектры  $\gamma$ -лучей, совпадающих с  $\alpha$ -частицами с энергией:  
а)  $E_\alpha = (4260 \pm 20)$  кэВ; б)  $E_\alpha = (4220 \pm 20)$  кэВ

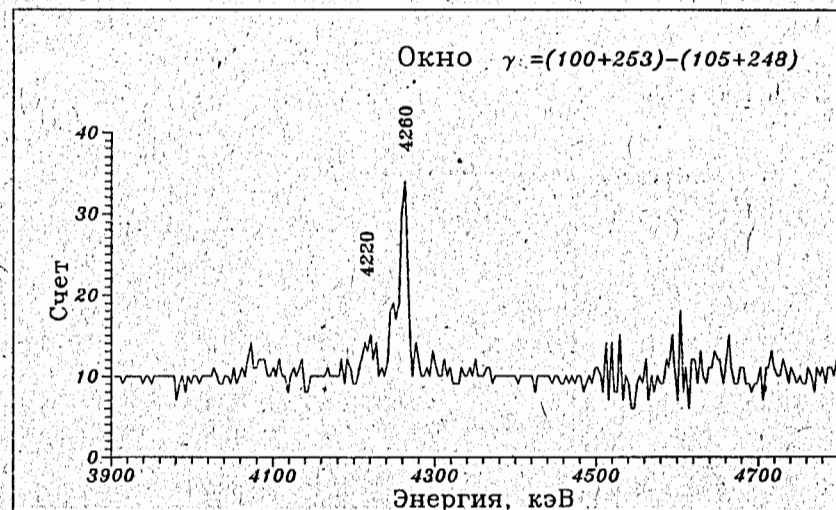


Рис.4. Спектр  $\alpha$ -частиц, совпадающих с  $\gamma$ -квантами 100.5 кэВ и 253.4 кэВ

Отношение  $(I_{\alpha 4220}) / (I_{\alpha 4378}) = 0.027(6)\%$  определено по результатам измерений спектров совпадений с учётом отношения интенсивностей главных  $\alpha$ -линий  $(I_{\alpha 4220}) / (I_{\alpha 4378})$  в тех же измерениях. Полученные значения в пределах ошибок совпадают с результатами Лианга и др. [1]. В таблице даются также экспериментальные оценки верхних пределов интенсивности  $\alpha$ -переходов, возможных по предложенной в [1] схеме распада изомеров  $^{151}\text{Ho}$  (рис.1). Эти оценки несколько ниже полученных в [1].

Таким образом, в настоящей работе подтверждены результаты работы Лианга и др. [1], касающиеся обнаружения тонкой структуры  $\alpha$ -спектров при распаде изомеров  $^{151}\text{Ho}$  и энергии изомерных состояний  $\text{P}_{11/2}$  и  $\text{P}_{31/2}$  в ядрах  $^{151}_{67}\text{Ho}_{84}$  и  $^{147}_{65}\text{Tb}_{82}$ .

Работа выполнена при финансовой поддержке Российского фонда фундаментальных исследований (код проекта №94-02-04828а).

Таблица. Относительные интенсивности альфа-переходов при распаде изомеров  $^{151}_{67}\text{Ho}_{84}$  (47 с,  $1/2^+$ ) и  $^{151}_{67}\text{Ho}_{84}$  (36 с,  $11/2^-$ )

$E_\alpha$ (кэВ)	Относительные интенсивности		$I_i \rightarrow I_f$	$E_f - E_i = ^{147}_{65}\text{Tb}_{82}$ (кэВ)
	Наст. работа	Лианг и др. [1]		
4611 <sup>1)</sup>	100	100	$1/2^+ \rightarrow 1/2^+$	0
(4565) <sup>2)</sup>	<0.06	<1.1	$1/2^+ \rightarrow 11/2^-$	51
(4366) <sup>2)</sup>	<0.02	<0.05	$1/2^+ \rightarrow 3/2^-$	253
4265	0.23 (1)	0.26 (2)	$1/2^+ \rightarrow 5/2^+$	354
(4570) <sup>2)</sup>	<0.04	<0.7	$11/2^- \rightarrow 1/2^+$	0
4522 <sup>1)</sup>	100	100	$11/2^- \rightarrow 11/2^-$	51
(4323) <sup>2)</sup>	<0.01	<0.01	$11/2^- \rightarrow 3/2^-$	253
4225	0.027 (4)	0.036 (4)	$11/2^- \rightarrow 5/2^+$	354

Примечание.

- 1) Взвешенные значения энергии основных  $\alpha$ -переходов из работы Ритца [4].
- 2) В скобки взяты значения энергии  $\alpha$ -переходов, возможных по схеме распада рис.1.

### литература

1. C.F.Liang, P.Paris, P.Kleinheinz et al  
Phys.Letters V191 p.245 (1987)
2. V.G.Kalinnikov et al NIM B70 p.62 (1992)
3. В.И.Фоминих и др. Препринт ОИЯИ Р13-94-394. Дубна (1994)
4. A.Rytz Atomic data and Nucl.Data Tables 47 p.205 (1991)

Рукопись поступила в издательский отдел.  
10 июля 1995 года.